2次遅れDAPならびに双測定DAP

---数理モデルと項目数 n=2 の計算実験例---

日大生産工(非常勤) (篠原 正明 情報システム研究所 篠原 健

1. はじめに

1次遅れ項x(t-1)のみを考慮する従来のDAP 更新式は、簡単化すれば「x(t)=Px(t-1) (1.1)」と表現できる。本論文ではx(t-1)のみならず 2 次遅れ項 x(t-2) を考慮した更新式「x(t)=Px(t-1)+Qx(t-2) (1.2)」を持つ DAP (Second-order lag DAP, 略して SL-DAP) を提案する。さらに 2 つの一対比較データ測定系を持つ DAP (略して、双測定 DAP, Bimatrix DAP) との関連性についても考察する。なお、提案する SL-DAP ならびに双測定 DAP は、固有値問題としてとらえると、2 次固有値問題 QEP[1]に帰着され、x(t)の2次項等の非線形項を含むが 1 次遅れ項に限定される QDAP[2]とは本質的に異なる。

2. SL-DAP の更新式

2次遅れを持つSL-DAP 更新式の一般形を(2.1)に示す。

x(t)=Px(t-1)+Qx(t-2) (2.1)

完全情報かつ算術平均を想定したSL-DAPの具体的な更新式を(2.2)に示す。

$$x(t) = \frac{\alpha}{n} Sx(t-1) - \frac{\beta}{n^2} Tx(t-2)$$
 (2.2)

ここで、 α 、 β は補正係数で通常は $\alpha=\beta=1$ と設定、 $\mathbf{x}(t)$ は \mathbf{t} 時点でのウェイトベクトル、 \mathbf{n} は項目数、 \mathbf{S} と \mathbf{T} は適当な $\mathbf{n} \times \mathbf{n}$ の一対比較データの加工行列である。

3. 2つの測定系を持つ DAP としての解釈

2つの一対比較行列 R、L を測定データとして持つ DAP の 更新式 (3.1) を考える。

$$x(t) = \frac{1}{n}(R + L)x(t - 1) - \frac{1}{n^2}RLx(t - 2)$$
 (3.1)

ここで、R、L 共に一対比較行列であり、2つの測定系の1つ(例えば、右眼)での比較行列をR、他方(左眼)での比較行列をLとすると、(3.1)の右辺第2項は左右の交叉項を

表す(双測定系と『両眼vs 複眼』については付録1参照。 定数倍んでの定常状態を想定すると、(3.2) が成立する。

 $x(t) = \lambda x(t-1) = \lambda^2 x(t-2)$ (3.2)

固有ベクトルx が満たすべき方程式は (3.3) で与えられる。 (λ^2 I- λ (R+L)/n+RL/n²)x=(λ I-R/n)(λ I-L/n)x=0 (3.3) 固有方程式は(3.4)で与えられる。

 $\det(\lambda^2 I - \lambda (R+L)/n + RL/n^2) = \det((\lambda I - R/n)(\lambda I - L/n)) = 0$ (3.4) 4. 2次遅れ DAP (SL-DAP) と双測定系 DAP の比較 (2.2) と (3.1) を 比 較 す る と 、 (4.1) を 得 る 。 $\frac{\alpha}{n} S = (R+L)/n$ $\frac{\beta}{n^2} T = RL/n^2$ (4.1)

(4.1)において、 $\alpha=1$, $\beta=1$ とすると、(4.2)を得る。

S=R+L, T=RL (4.2)

SL-DAPの1次遅れSは右側と左側測定系の一対比較データの行列和情報が、2次遅れTは、右側と左側測定系の一対比較データの行列積情報が対応している。さらに、固有方程式が重根を持つ場合、R=L=A (4.3)を考えると、(4.4)を得る。

S=2A, $T=A^2$ (4.4)

5. 数值計算実験

2次遅れ DAP と双測定系 DAP は等価なので、一対比較行列 R と L を与えることにより、以下に双測定系 DAP の過渡特性を数値計算実験により調べる。項目数 n=2 では、対角要素=1 の前提では、R と L は(5.1)となる。

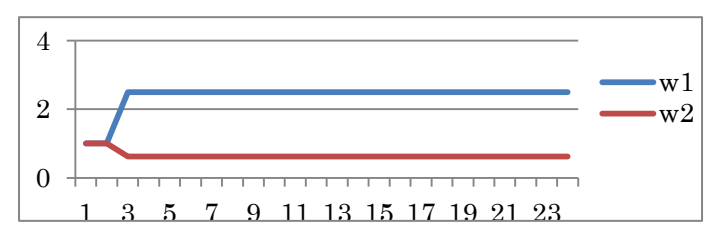
$$\mathbf{R} = \begin{pmatrix} 1 & a \\ b & 1 \end{pmatrix}, \mathbf{L} = \begin{pmatrix} 1 & c \\ d & 1 \end{pmatrix}$$
 (5.1)

「例 A1] R=L(n=2)の例

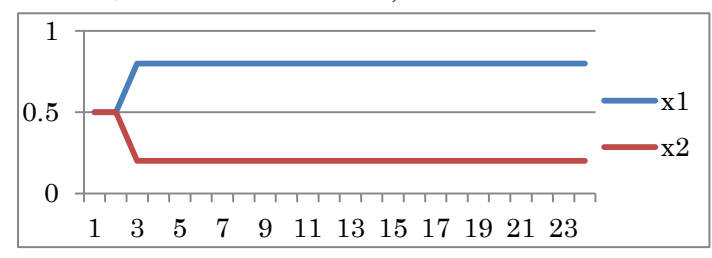
$$\mathbf{R} = \begin{pmatrix} 1 & 4 \\ 1/4 & 1 \end{pmatrix}, \mathbf{L} = \begin{pmatrix} 1 & 4 \\ 1/4 & 1 \end{pmatrix}$$

なお、2 次遅れ系なので、w1(1)=w2(1)=1, w1(2)=w2(2)=1, x1(1)=x2(1)=0.5, x1(2)=x2(2)=0.5 と t=1,2 で初期値設定する。 t=3 で生ウェイトベクトルw、正規化ウェイトベクトルx ともに $w^{T}=(2.5,0.625)$, $x^{T}=(0.8,0.2)$ に収束する。

Second-order lag DAP and bimatrix DAP Masaaki SHINOHARA and Ken SHINOHARA



(i) 生ウェイトベクトル w=(w1,w2)T



(ii) 正規化ウェイトベクトル x=(x1,x2)T

図 5.1: [例 A1] の過渡特性

一般に、R=Lならn>2でも以下が成立。

{性質 5.1} R=L=A なら、双測定系 DAP の収束ウェイトベクトルは単測定系 DAP のそれに一致する。

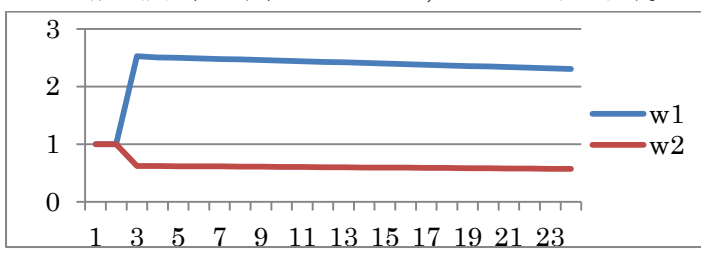
《略証》 $x(t) = \frac{1}{n} (2A)x(t-1) - \frac{1}{n^2} A^2 x(t-2)$ (3.1) と $x(t) = \frac{1}{n} Ax(t-1)$ は等価。口

[例A2] R≠L(n=2)の例

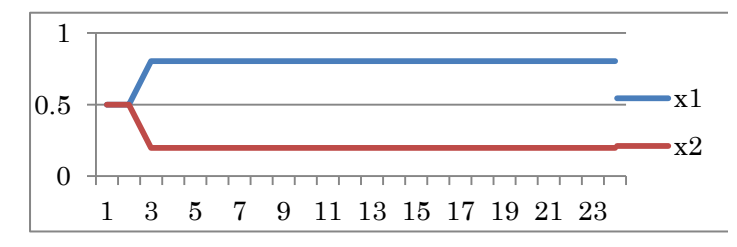
(5.1)において、L の(1,2)要素=c を微小増加する。

$$R = \begin{pmatrix} 1 & 4 \\ 1/4 & 1 \end{pmatrix}, L = \begin{pmatrix} 1 & 4.1 \\ 1/4 & 1 \end{pmatrix}$$

生wは減少傾向、正規化xはxT=(0.8,0.2)付近に漸近収束。



(i) 生ウェイトベクトル w=(w1,w2)T



(ii) 正規化ウェイトベクトル x=(x1,x2)T

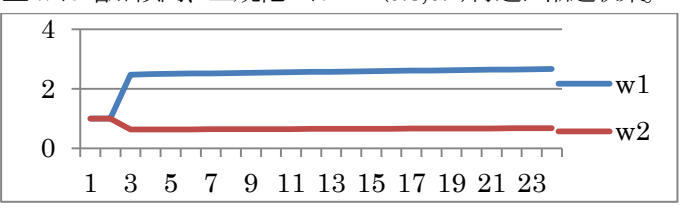
図 5.2: [例 A2]の過渡特性

[例A3] R≠L(n=2)の例

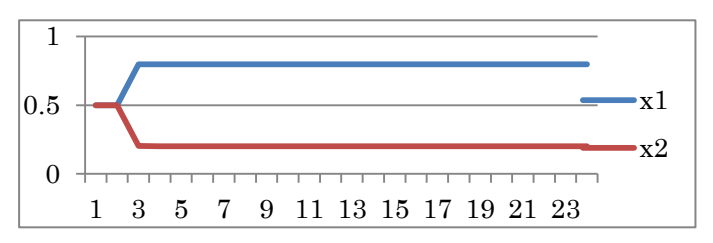
(5.1)において、L の(1,2)要素=c を微小減少する。

$$R = \begin{pmatrix} 1 & 4 \\ 1/4 & 1 \end{pmatrix}, L = \begin{pmatrix} 1 & 3.9 \\ 1/4 & 1 \end{pmatrix}$$

生wは増加傾向、正規化xはxT=(0.8.0.2)付近に漸近収束。



(i) 生ウェイトベクトル w=(w1,w2)T



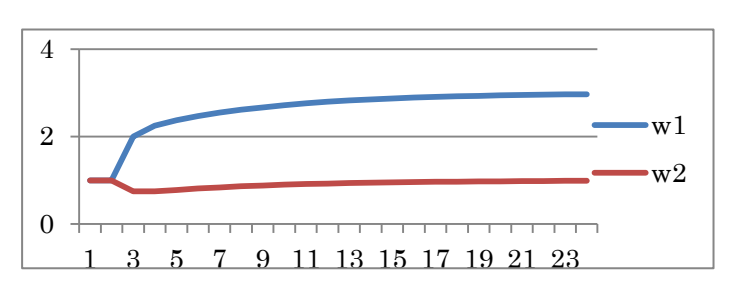
(ii) 正規化ウェイトベクトル x=(x1,x2)T

図 5.3: [例 A3] の過渡特性

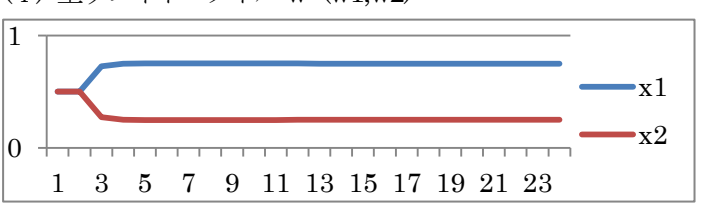
[例 A4] R≠L(n=2)の例(c=2 に減少)

$$\mathbf{R} = \begin{pmatrix} 1 & 4 \\ 1/4 & 1 \end{pmatrix}, \mathbf{L} = \begin{pmatrix} 1 & 2 \\ 1/4 & 1 \end{pmatrix}$$

生wは増加傾向、正規化xはxT=(0.75,0.25)付近に漸近収束。



(i) 生ウェイトベクトルw=(w1,w2)T



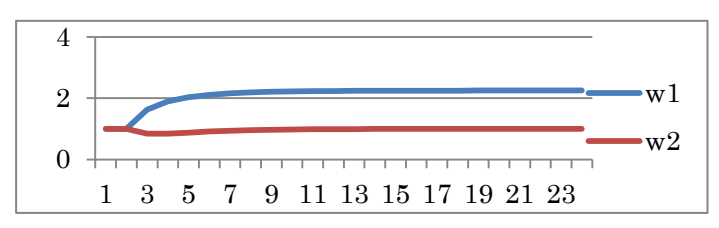
(ii) 正規化ウェイトベクトルx=(x1,x2)T

図 5.4: [例 A4] の過渡特性

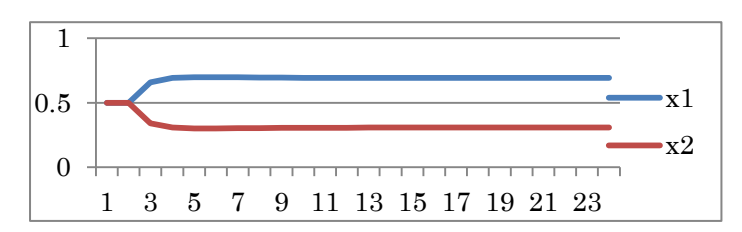
[例 A5] R≠L(n=2)の例(c=0.5 に更に減少)

$$R = \begin{pmatrix} 1 & 4 \\ 1/4 & 1 \end{pmatrix}, L = \begin{pmatrix} 1 & 0.5 \\ 1/4 & 1 \end{pmatrix}$$

生wはwT=(2.25,1)、正規化xはxT=(0.7,0.3)付近に漸近収束。



(i) 生ウェイトベクトルw=(w1,w2)T



(ii) 正規化ウェイトベクトル x=(x1.x2)T

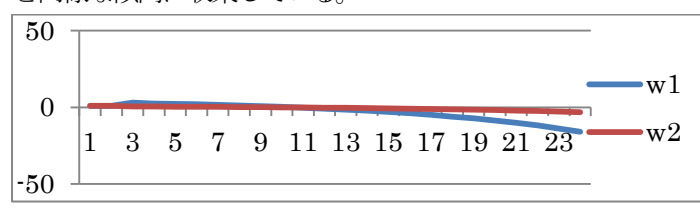
図 5.5: [例 A5] の過渡特性

例A1~A3 において、R と L が多少異なっても、正規化ウェイトベクトルはほぼ同値に収束する。[例 A2]においてさらに時間経過した場合の生ウェイトベクトル w の傾向挙動(負値逆転の可能性)を調べるため、次の2例(例 A6,A7)で、L の(1,2) 要素=c を、6 そして7 と増加する。

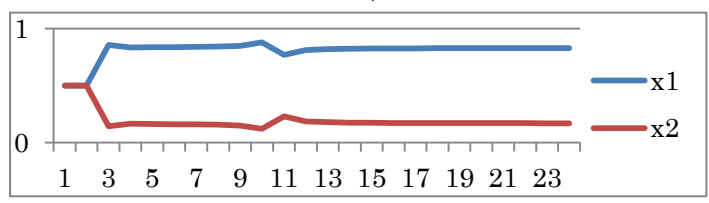
[例 A6] R≠L(n=2)の例: L の(1,2)要素=c を 6 に増加する。

$$\mathbf{R} = \begin{pmatrix} 1 & 4 \\ 1/4 & 1 \end{pmatrix}, \mathbf{L} = \begin{pmatrix} 1 & 6 \\ 1/4 & 1 \end{pmatrix}$$

生 $w=(w1,w2)^T$ は時間と共に減少し、t=9 以降 w1,w2 同時に 負値をとるが、正規化x は t=9 以降、多少波打つが t=9 以前 と同様な傾向に収束している。



(i) 生ウェイトベクトルw=(w1,w2)T



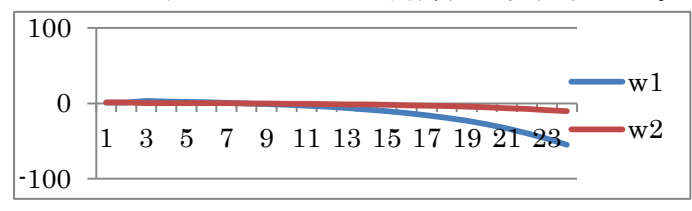
(ii) 正規化ウェイトベクトル x=(x1,x2)T

図 5.6: [例 A6] の過渡特性

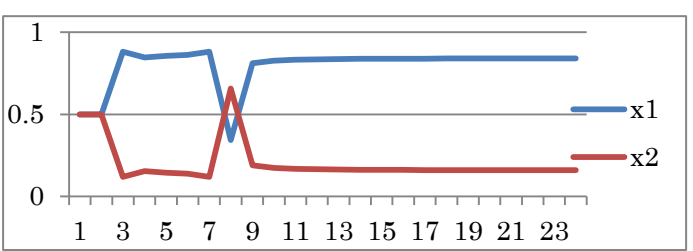
[MA7] R \neq L(n=2)の例:L の(1.2)要素=cを7に増加する。

$$\mathbf{R} = \begin{pmatrix} 1 & 4 \\ 1/4 & 1 \end{pmatrix}, \mathbf{L} = \begin{pmatrix} 1 & 7 \\ 1/4 & 1 \end{pmatrix}$$

正規化xはt=6以降、一時的に変動するが、その後t=6以前 と同様な傾向に収束している(図 5.7)。例 A6, A7 ともに、各 時点t での生ウェイトベクトルの各成分の正負符号は同じ。



(i) 生ウェイトベクトルw=(w1,w2)T



(ii) 正規化ウェイトベクトルx=(x1.x2)T

図 5.7: [例 A7] の過渡特性

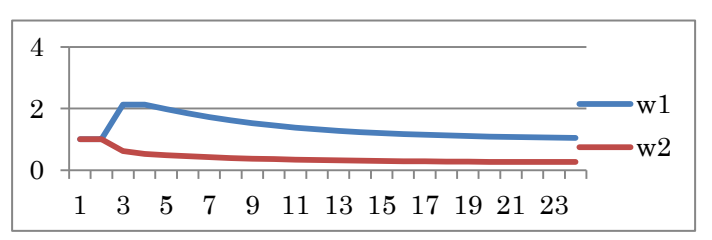
以上より、Lの(1,2)要素=cの減少に対しては比較的安定な特性を示す。一方、cの増加に対しては生ウェイト特性は正負逆転等の不安定な特性を示すが、正規化ウェイト特性では一時的に乱れるも、安定な特性を回復する。

次に、左右測定系の対称性を調べため、例 A4 の R と L を入れ替える。

[例 A8] R≠L(n=2)の例

$$R = \begin{pmatrix} 1 & 2 \\ 1/4 & 1 \end{pmatrix}, L = \begin{pmatrix} 1 & 4 \\ 1/4 & 1 \end{pmatrix}$$

生w は減少傾向、正規化x は x^{T} =(0.8,0.2)に漸近収束する(図 5.8)。明らかに、例 A4(図 5.4)の傾向とは異なる。



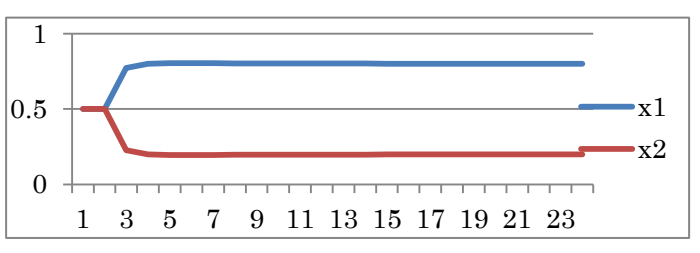


図 5.8: [例 A8]の過渡特性

片方が、例えばR, が逆比整合的な時に、R と L の交換に対して特性が不変である<u>対称性の条件</u>を次に与える(n=2)。

【性質 5.2(5.2)で与えられる逆比整合的 R ならびに必ずしも逆比整合的ではないLに対して、R と L を交換しても同じ特性を示す。

$$\mathbf{R} = \begin{pmatrix} 1 & p \\ 1/p & 1 \end{pmatrix}, \mathbf{L} = \begin{pmatrix} 1 & p^2/q \\ 1/q & 1 \end{pmatrix} (5.2)$$

《略証》RL=LR なので □

[例 A9] R≠L(n=2)の例

性質 5.2 に従えば、(5.3)と(5.4)は同じ特性を示す。

$$R = \begin{pmatrix} 1 & 4 \\ 1/4 & 1 \end{pmatrix}, L = \begin{pmatrix} 1 & 8 \\ 1/2 & 1 \end{pmatrix}$$
 (5.3) $R = \begin{pmatrix} 1 & 8 \\ 1/2 & 1 \end{pmatrix}, L = \begin{pmatrix} 1 & 4 \\ 1/4 & 1 \end{pmatrix}$ (5.4)

一般には、二つの行列、R と L、の乗算で、交換律(RL=LR) は不成立である、RL \neq LR。従って、2,3章で定義する 2次 遅れ DAP と双測定系 DAP は入力 R と L の交換にたいして 出力 $\mathbf{x}(\mathbf{t})$ を同一に保つことはできない。これを、左右測定系の原始非対称性と呼ぼう(付録 2)。

次に、比較の基準となる平等比較行列 U を考察する。

[平等比較行列 U の定義]

全(i,j)要素=1 である比較行列を平等比較行列 U と定義する。 U={u;}={1}, あるいは、u;=1 (5.5).

{定理 5.3} (n>2 でも成立)

任意のRに対して、L=Uなら、w(t)=1,x(t)=1/n.

(略証) (3.1)にL=U={u_i}={1},初期値として x(t-1)=1, x(t-2)=1,を代入すると、

$$x(t) = \frac{1}{n} (R+L)x(t-1) - \frac{1}{n^2} RLx(t-2) = \frac{1}{n} (R+L)1 - \frac{1}{n^2} RL1 = 1.$$

単位比較行列 U は、全n項目が同ウェイトを持つ平等状態を意味する。 定理 5.3 は、右眼入力が何であろうが、左眼入力が平等状態(白紙あるいは単色)ならば出力も白紙となることを意味する。 また、R=U では類似の現象は発生せず、L=Uのみに関係する特異な現象である。 次に、RかLが普通の代数下での単位行列 I、零行列 O の場合について考察する。 いずれの場合も一対比較に特徴的な逆比性は満たさない。 零行列 O では、対角要素=1の自己同一性すらも満たさない。 これらは欠落要素が存在する場合に相当すると考えられる。

{定理 5.4} (n>2 でも成立)

R かL が単位行列 I ならば(R は逆比的、L=I とする)、R の 主固有ベクトルに漸近的に収束。

《略証》R,Lの主固有値 λ_1,λ_2 は λ_1 ≥ 1 (R の逆比性仮定により、n=2 では常に等号成立)、 $\lambda_2=1/n$ なので、L の効果は過渡減衰し、R の効果のみ残る。 \square

{定理 5.5} (n>2 でも成立)

R かL が零行列 O ならば(L=O とする)、双測定系 DAP は、単測定系 DAP あるいは 1 次遅れ DAP に帰着する。

《略証》双測定系 DAP の更新式 (3.1) は(5.6)となる。

$$x(t) = \frac{1}{n}(R+L)x(t-1) - \frac{1}{n^2}RLx(t-2) = \frac{1}{n}Rx(t-1)$$
 (5.6)

参考文献

[1]F. Tisseur and K. Meerbergen: The quadratic eigenvalue problem, SIAM Rev., 43 (2001).

[2]篠原正明,篠原健:非線形平均化プロセス QDAP 一般理論、 平成 24 年度日大生産工第 45 回学術講演会(2012. 12).

【付録.1】複数の比較行列を考慮する AHP(両眼 vs 複眼)

「I. 単一の比較行列を合成する方法」、「II. 個々の比較行列対応のウェイトベクトル(複数)から単一のウェイトベクトルを合成する方法」に大別できるが、本提案はいずれにも属さない。ヒトなどの両眼視系では、右眼画像と左眼画像から合成されるわけでもなく、右眼網膜上の一対比較データと左眼網膜上の一対比較データが単一の仮想網膜上の一対比較データに合成されるわけでもない。その間の何らかのプロセスで実現されている。それを解明する数理モデルの提案である。◆用語(両眼vs 複眼)について:複数の比較行列を考慮し、様々な、多角的な視点にもとづく意思決定アプローチなので、『複眼(compound eye)的』とも言えるが、生物学的には複眼は昆

虫の眼であり、『AHPの両眼(binocular)視、多眼視アプロー

チ』が適切と思う。さらに、原始生物からの進化過程から見

ても、レンズ眼の1つ目、2つ目、3つ目、などと、複数の

【付録2】神経系の原始非対称性と行列の積

個眼から構成される昆虫の複眼は区別すべきと思う。

(3.1)において行列積 RL は線形写像の合成を表し、生体システムの神経系の左右交叉部がこのような仕組みを<u>内包</u>することを示唆する。2つの行列 A,B の積について通常は交換律は成立しない(AB \neq BA)。この事が神経系の左右非対称部位の根源的かつ数理的な裏付けを与えるので、これを原始非対称性と呼ぶ。A,B ともにスカラーならば AB=BA が成立し、対応する神経系も左右対称性を持つはずだが、そのようには作られていない。すなわち、原始非対称性を持つ左右交叉部の数理的近似モデルとして、A=R,B=L をマトリックス matrix とする直列システムが想定できる。

【付録3】3次遅れDAPならびに3測定系DAP

3 つの一対比較行列 R(Right),M(Middle),L(Left) を測定データとして持つ三つ目小僧 DAP の更新式を (A3.1) に示す。

$$x(t) = \frac{1}{n}(R + M + L)x(t - 1) - \frac{1}{n^{2}}(RM + RL + ML)x(t - 2) + \frac{1}{n^{3}}(RML)x(t - 3)$$
(A3.1)